

**UNIVERSIDADE FEDERAL DE GOIÁS  
FACULDADE DE ODONTOLOGIA  
PROGRAMA DE PÓS-GRADUAÇÃO EM  
ODONTOLOGIA**

**RESISTÊNCIA À FRATURA**

Mestrandas:  
Erika Maria Carvalho Bitencourt  
Raphaela Mendes Guimarães

Orientadores:  
João Batista de Souza  
Lawrence Gonzaga Lopes  
Rodrigo Borges Fonseca

### Propriedades Mecânicas

Tensões > ao limite de proporcionalidade (elástica)

- Resistência a tensões
  - sem fratura
  - sem deformação
- Tensão

Anusavice, 2005

### Resistência à Fratura

Tensão máxima → FRATURA

Resistência à Fratura

- Tração
- Cisalhamento
- Compressão
- Flexão

Anusavice, 2005

### Tensão de Tração / Resistência à Tração

Carga → Esticar/Alongar um corpo

Resistência máxima de um material submetido a uma carga de tração.

Anusavice, 2005

### Tensão de Cisalhamento/ Resistência ao Cisalhamento

- Carga → deslizamento de uma porção de um corpo sobre outro

Anusavice, 2005

### Tensão Flexural/ Resistência Flexural

- Carga → Dobrar → Quebrar
- Máxima flexibilidade é alcançada antes do limite de proporcionalidade. (Anusavice, 2005)

Wang, 2003

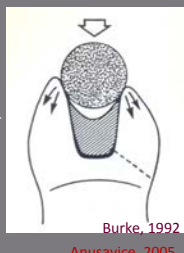
Anusavice, 2005

FIGURE 5 - Ilustração Esquemática de Teste de Tensão Flexural de um material

### Tensão de Compressão/ Resistência à Compressão

- Carga ➔ Comprimir/Encurtar um corpo
- Maleabilidade

Os materiais mais resistentes sob forças de compressão do que sob tração ➔ maleáveis.



### Condições de Carregamento

- Estático
- Dinâmico
- Repetidamente

Estrela, 2005

### Manutenção da integridade do corpo-de-prova

- Destrutivo
- Não-destrutivo

Estrela, 2005

### Fratura Dental

- Completa
- Incompleta

Fraturas de dentes podem variar em severidade, de uma fratura mínima de esmalte, à fratura longitudinal de uma cúspide inteira.

Burke, 1992

### Objetivos

- Revisão de conceitos relacionados ao tema
- Apresentar a importância do método
- Descrever a metodologia laboratorial através da literatura existente

### Problemática

- O conhecimento das propriedades físicas e mecânicas do tecido dentário e dos materiais restauradores é de grande importância.
- No ambiente bucal, dentes e materiais restauradores são constantemente submetidos a esforços mecânicos.
- Forças mastigatórias e, algumas vezes, forças parafuncionais produzem diferentes reações que podem gerar deformações e comprometer a integridade do dente ou do material com o passar do tempo.

Wang et al., 2003

## TESTE DE RESISTÊNCIA À FRATURA DENTAL

- *In vitro* => Natureza Destruativa

Força necessária para restauração/estrutura dental fraturar



Novas configurações dos preparamos cavitários que promovam maior resistência



Base para o desenvolvimento de estudos clínicos



Possibilita a análise de novos materiais e técnicas

Fonseca, 2004

## TESTE DE RESISTÊNCIA À FRATURA DENTAL

- ❖ Aplicação de:

Carga Tangencial (Soares, 2005)

Carga compressiva:

- sobre dentes (Fonseca, 2004; Santos, 2005);
- restaurações (Mondelli, 2009; Morimoto, 2009) e
- núcleos intra-radiculares (Rocabado, 2009).

## Protocolo

- Seleção/ Preparo dos espécimes  
(inclusão e simulação do ligamento periodontal)
- Máquina de ensaio
- Velocidade do teste
- Método de aplicação de carga  
(dentes anteriores e posteriores)
- Classificação do tipo de fratura.

## Seleção/ Preparo dos espécimes

- Separação entre dentes anteriores, pré-molares e molares  
(Naumann, 2009)
- Dentes hígidos/ dimensões semelhantes  
(Fonseca, 2004; Santos, 2005; Abo El-Ela, 2008)
- ISO nº TS/11405 recomenda armazenagem:
  - água destilada
  - solução de cloramina T 0,5%
- Substituição periódica e não ultrapassar 6 meses.

## Inclusão

• Material de inclusão => reproduzir a capacidade do osso para absorver a carga mastigatória (Soares, 2005; Fonseca, 2004)

• Materiais utilizados :

- resina acrílica autopolimerizável (Santos, 2005);
- gesso (Al-Wahadni, 2002);
- resina de poliestireno (Fonseca, 2004).

## Inclusão

➤ O tipo de resina usada na inclusão das raízes não tem efeito significante sobre os valores de resistência à fratura, mas o padrão de fratura mostrou-se mais homogêneo com uso de **resina de poliestireno**.  
(Soares, 2005)

➤ Novas investigações → não existe um material validado para simular as características do osso mandibular e maxilar.  
(Naumann, 2009)

## Simulação do ligamento periodontal

Não simulação de um ligamento periodontal artificial

- Pode ser realizado com o uso de diferentes materiais elastoméricos e aquilose dentária
- Um grande número de estudos in vitro tem eliminado este procedimento.

Influência nos valores numéricos de resistência à fratura e, principalmente, no padrão de fratura

Soares et al. 2005

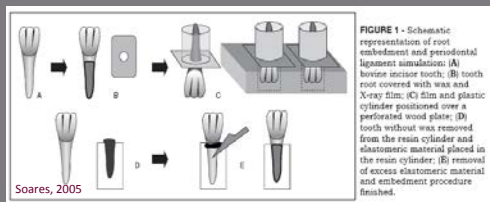
## Simulação do ligamento periodontal

- Facilidade de uso
- Consistência
- Limite de deformação

O material de moldagem à base de poliéster deve ser considerado a melhor escolha.

Soares CJ, Pizi EC, Fonseca RB, Martins LR. Influence of root embedment material and periodontal ligament simulation on fracture resistance tests. Braz Oral Res. 2005;19(1):11-6.

## MÉTODO DESCrito POR SOARES (2005)



**FIGURE 1** Schematic representation of root embedment and periodontal ligament simulation: (A) preparation of the tooth; (B) tooth covered with wax and X-ray film; (C) film and plastic cylinder positioned over a resin cylinder; (D) tooth without wax removed from the resin cylinder and elasto-meric material placed in the resin cylinder; (E) removal of the elasto-meric material and embedment procedure finished.

Armazenar os espécimes em água destilada a 37°C, até os procedimentos posteriores.

### A ADA (2007) recomenda:

"as amostras devem ser armazenadas em água a  $37 \pm 2^{\circ}\text{C}$  por 24 horas antes do teste."

## MÁQUINAS DE ENSAIO UNIVERSAL

### Diversos Modelos e Marcas

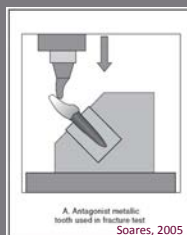
- Modelo K-2000MP, Dinamômetros Kratos Ltda., São Paulo, Brasil (Bonfanti, 2006; Mondelli, 2007);
- Instron modelo 4301, Canton, Mass. (Santos, 2005);
- Instron modelo 8501, Instron Corp. Canton, Mass. (Abo El-Ela, 2008);
- EMIC DL 2000; São José dos Pinhais, PR, Brasil (Fonseca, 2004; Silva, 2007);
- EMIC DL 500; São José dos Pinhais, PR, Brasil (Soares, 2005; Mondelli, 2009);
- Lloyd, LRX, Fareham, Hants, England (Oktay, 2010);
- Modelo FS-5; Riehle Testing Machines, Philadelphia, PA, USA (Morimoto, 2009).



Google

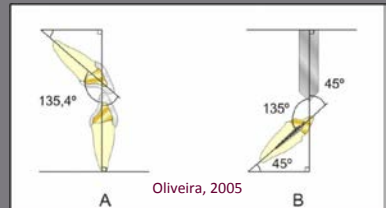
## Modo de aplicação de carga

- O ângulo de aplicação da carga, nos ensaios de resistência à fratura dental, deverá simular, o mais próximo possível, o ângulo de incidência das forças mastigatórias clinicamente. (Santos, 2005)



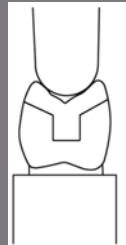
## Modo de aplicação de carga

- Incisivos: ângulo de  $135^\circ$  - ângulo de  $45^\circ$  em relação ao plano horizontal (Abo El-Ela, 2008)



## Modo de aplicação de carga

- Dentes Posteiros: paralela ao longo eixo dos dentes



Mondelli, 2009

## Formato da ponta de aplicação de carga

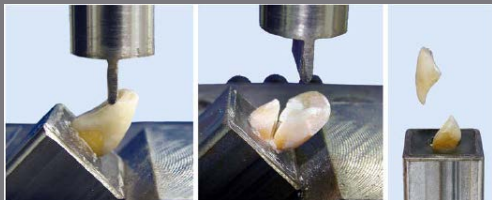
### ➤ Dentes posteriores:

- cilindro (Bonfante, 2006; Mondelli, 2007)
- esfera (Fonseca, 2004; Santos, 2005; Mondelli, 2009)

### ➤ Dentes anteriores:

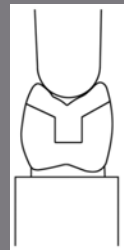
- cinzel ou faca (Silva, 2007; Abo El-Ela, 2008)

## Ponta de aplicação de carga

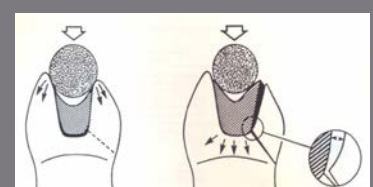


Roberto, 2008

## Ponta de aplicação de carga



Mondelli, 2009

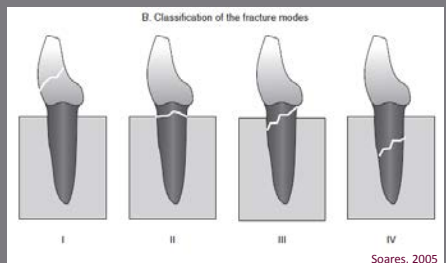


Burke, 1992

## Velocidade de aplicação de carga

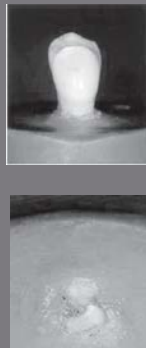
- Burke (1992) verificou que nos diversos estudos de resistência à fratura, há grande diversidade à velocidade e ao modo de aplicação de carga
- Fonseca (2004) ao avaliar a influência da configuração do prelaboratório na resistência à fratura de molares com restaurações indiretas em cerâmico utilizou velocidade de 1 mm/min foi recomendada. (Naumann, 2009)
- Abo El-Ela (2008) empregou velocidade de 2 mm/min na avaliação da resistência à fratura de dentes anteriores restaurados com pinos não-metálicos.
- Oktay (2010) ao analisar a resistência à fratura de primeiros pré-molares superiores tratados endodonticamente e restaurados com diferentes adesivos dentinários e resinas compostas híbridas, utilizou velocidade de 1mm/min.

## Padrão de Fratura



## Padrão de Fratura

Bonfante G, Kaizer OB, Pegoraro LF, Valle AL do. Fracture resistance and failure pattern of teeth submitted to internal bleaching with 37% carbamide peroxide, with application of different restorative procedures. J. Appl. Oral Sci. 2006;14(4): 247-52.



## Padrão de Fratura



Morimoto S, Vieira GF, Agra CM, Sesma N, Gil C. Fracture strength of teeth restored with ceramic inlays and overlay. Braz Dent J. 2009;20(2):143-8.

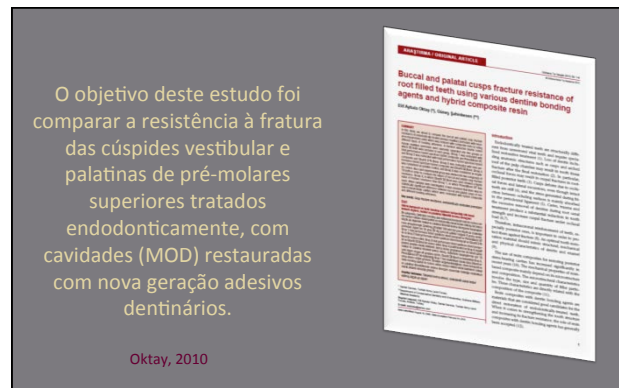
## SÍNTES

- SELEÇÃO DOS DENTES:** mesmo grupo/ hígidos/ dimensões semelhantes;
- DECONTAMINAÇÃO E ESTOCAGEM:** cloroamina T 0,5% / água destilada a 37°C, por até 6 meses;
- INCLUSÃO:** resina de poliestireno autopolimerizável;
- LIGAMENTO PERIODONTAL:** material de moldagem à base de poliéster;
- ESTOCAGEM:** água destilada a 37°C, 24h.
- ÂNGULO DE APLICAÇÃO DE CARGA:** 135° anteriores/ axial posteriores;
- VELOCIDADE DA CARGA:** 0,5 a 1 mm/min;
- PONTA DE APLICAÇÃO:** cinzel (anteriores) / esfera e cilindro (posteriores);

## INFLUÊNCIA DA CONFIGURAÇÃO DO PRELABORATÓRIO NA RESISTÊNCIA À FRATURA E ADAPTAÇÃO MARGINAL DE RESTAURAÇÕES INDIRETAS EM CERÂMICO



Fonseca, 2004



## Metodologia

- Resina acrílica auto-polimerizável -2mm apical à JCE;
- Máquina de ensaios universal (Llyod, LRX, Fareham, Hants, Inglaterra);
- Aplicação da carga: metade da largura mésio-distal da cúspide vestibular;
- Vel. 1 mm / min - Ângulo de 135°
- Na junção da cúspide e do material restaurador
- Mesmo procedimento aplicado na cúspide palatina



Oktay, 2010

## Considerações Finais

- Não há normatização para este ensaio.
- Não há padronização quanto à metodologia
- São necessárias investigações sobre protocolo de carregamento para padronização da velocidade de aplicação do teste, bem como do formato e tamanho das pontas para aplicação da carga.

## Referências Bibliográficas

- Abdo El-Ela O, Ahs OA, El-Mowafy O. Fracture resistance of anterior teeth restored with a novel nonmetallic post. *J Can Dent Assoc.* 2008;74(5):441-41e.
- American Dental Association. Professional product review bonding agents: laboratory testing methods. 2007;2(1). (Online) [www.ada.org/goto/ppr](http://www.ada.org/goto/ppr).
- Al-Wahadni A, Gutteridge DL. An *in vitro* investigation into the effects of retained coronal dentine on the strength of a tooth restored with a cemented post and partial core restoration. *Int Endod J.* 2002;35:913-8.
- Anusavice KJ. Materiais Dentários, Traduzido por Moreira EJL. 11<sup>a</sup> ed. Rio de Janeiro: Elsevier Editora Ltda.; 2005.
- Bonfante G, Kaizer OB, Pegoraro LF, Valle AL do. Fracture resistance and failure pattern of teeth submitted to internal bleaching with 37% carbamide peroxide, with application of different restorative procedures. *J Appl Oral Sci.* 2006;14(4):247-52.
- Burke F. Tooth fracture *in vivo* and *in vitro*. *J Dent.* 1992;20(3):131-9.

## Referências Bibliográficas

- Dutra MC, Roscoe MG, Silva NR da, Barbosa LM, Soares CJ. Influência da viscosidade do material simulador do ligamento periodontal em testes de resistência à fratura e na deformação em dentes restaurados com núcleo metálico fundido e coroa metálica. *Rev Hor Cient.* 2008;1(8):1-16.
- Fonseca RB. Influência da configuração do preparo cavitário na resistência à fratura e adaptação marginal de restaurações indiretas em cerâmero [dissertação]. Uberlândia: Universidade Federal de Uberlândia; 2004.
- Mondelli J, Sene F, Ramos RP, Benetti AR. Tooth structure and fracture strength of cavities. *Braz Dent J.* 2007;18(2): 134-8.
- Mondelli RFL, Ishikirama SK, Oliveira Filho O de, Mondelli J. Fracture resistance of weakened teeth restored with condensable resin with and without cusp coverage. *J Appl Oral Sci.* 2009;17(3):161-5.
- Morimoto S, Vieira GF, Agra CM, Sesma N, Gil C. Fracture strength of teeth restored with ceramic inlays and overlay. *Braz Dent J.* 2009;20(2):143-8.

## Referências Bibliográficas

- Naumann M, Metzdorf G, Fokkinga W, Watzke R, Sterzenbach G, Bayne S, Rosentritt M . Influence of test parameters on *in vitro* fracture resistance of post-endodontic restorations: a structured review. *Journal of Oral Rehabilitation.* 2009;36(4):299-312.
- Oktay EA, Şahinkesen G. Buccal and palatal cusps fracture resistance of root filled teeth using various dentine bonding agents and hybrid composite resin. *Gülhane Tip Dergisi.* 2010;52(1):1-6.
- Oliveira JA. Influência do remanescente coronário em dentes despolpados restaurados com pino de fibra de carbono e coroa metálica submetidos à carga ciclica e resistência à fratura [dissertação]. Bauru: Universidade de São Paulo; 2005.
- Rocabado JMR. Comparison of two methods for testing restored tooth failure resistance. *Ro J Stomatol.* 2009;55(3):218-24.
- Santos MJMC, Bezerra RB. Fracture resistance of maxillary premolars restored with direct and indirect adhesive techniques. *Journal Canadian Dental Association.* 2005;71(8):585-6

## Referências Bibliográficas

- Silva GR. Resistência à fratura, padrão de fratura e deformação de raízes com canais excessivamente alargados restauradas com diferentes pinos e técnicas - avaliação mecânica e por extensometria [dissertação]. Uberlândia: Universidade Federal de Uberlândia; 2007.
- Soares CJ, Pizi EC, Fonseca RB, Martins LR. Influence of root embedment material and periodontal ligament simulation on fracture resistance tests. *Braz Oral Res.* 2005;19(1): 11-6.
- Soares CJ, Martins LR, Pfeifer JM, Giannini M. Fracture resistance of teeth restored with indirect-composite and ceramic inlay systems. *Quintessence Int.* 2004;35(4):281-6.
- Wang L, D'Alpino P, Lopes LG, Pereira JC. Mechanical properties of dental restorative materials: relative contribution of laboratory tests. *J Appl Oral Sci.* 2003;11(3):162-7.